

上路式補剛アーチの自由振動周期について

東北大学 正会員 工博 橋浦 大三

東北大学 学生員 ○橋渡 滋

1. まえがき

東北大学橋梁研究室では、昭和40年7月、岩手県積木次橋（国道45号線）の現場測定を行い、その成果を報告した。（東北大学工学部土木教室研究報告第15号）。今回の報告は、前記報告のうち、特に路面上下振動周期について、更に検討を加えたものである。

積木次橋の一般図を図-1に示す。橋梁型式としては、3聖間連続プレートガーダーを、アーチで補強した上路式補剛アーチである。補剛桁はアイバーで右岸橋台にとめられている。又アーチリブはクラウンにおいて、補剛桁に剛に取りつけられ、左岸橋台は可動端となっている。本橋は4次の不静定と考えられる。

2. 実測された振動周期について

現場実験では、1)起振機によって共振点を求める方法、2)試験荷重トラック（総重量15t）の後輪を8cmの角材から急に落下させたときに生ずる振動記録をもとにする方法を行った。

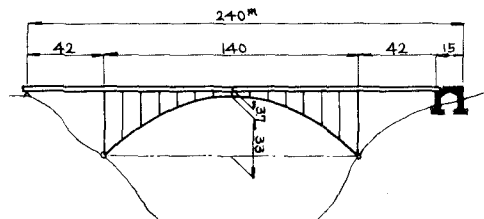
図-2は、起振機を中央聖間1/3点に設置して、上下方向に加振した結果を示したものである。

よりオ1次振動周期 0.66sec. オ2次周期 0.42sec. が得られる。

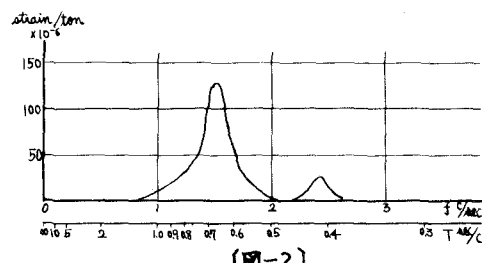
図-3は、右岸END POSTより5mの所で、角材より荷重車後輪を落としたときの記録である。Aはクラウンプレート、Bは中央聖間1/3点の下部フランジ、Cは中央聖間1/3点の下部フランジ、Dは側聖間1/3点の下部フランジのそれぞれ応力度の変化を示している。B、Cではうなりの現象があり、特にBでは著しい。これらの振動記録から極めて接近した周期の波が干渉していることが想像される。振動記録を分析すると、振中の大きな波の振動周期として 0.66sec~0.67sec が得られる。これは起振機によって得られたオ1次振動と一致する。他の振動周期は、うなりの計算から 0.56sec と求められる。

3. 計算について

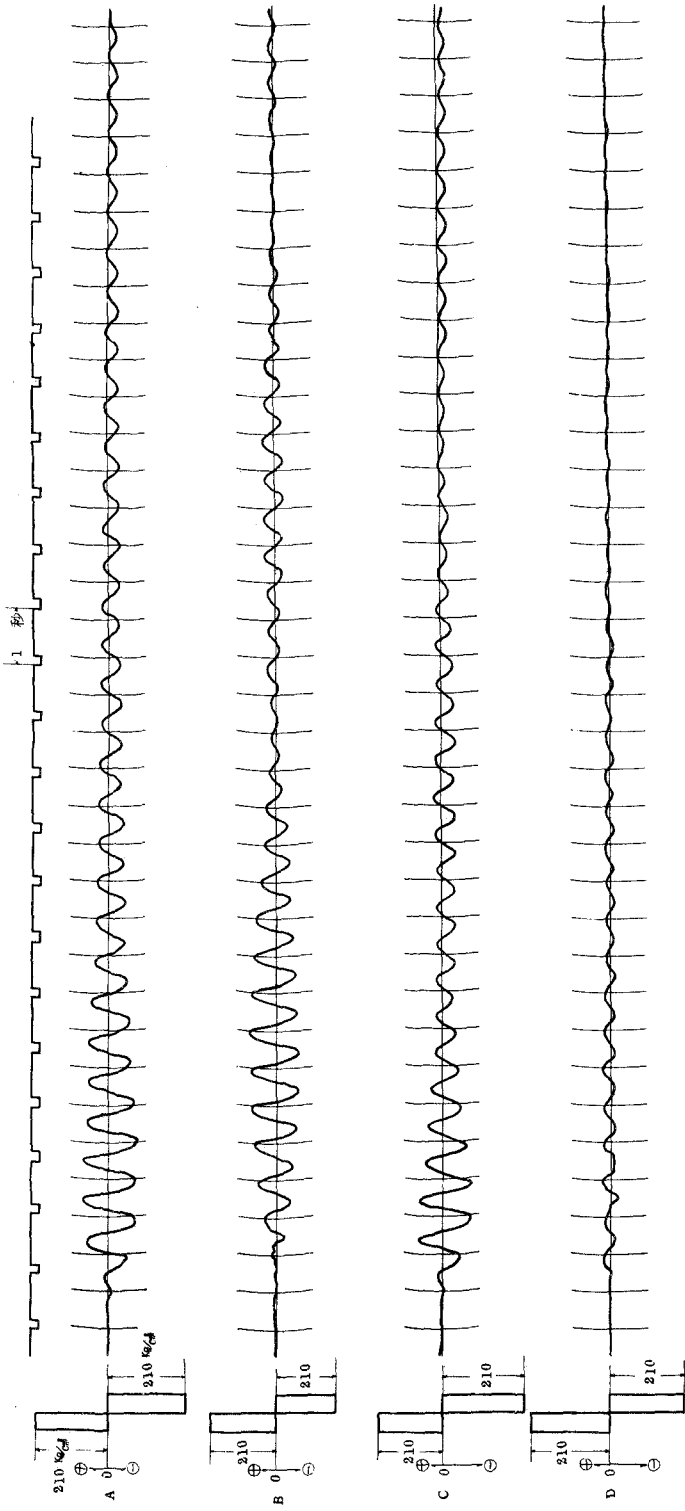
振動周期の計算は、Rayleigh-Ritz の方法によった。前報告において考慮されたエネルギーは ①運動エネルギー (T) を表す)、②補剛桁の曲げ歪エネルギー (T_B)、③死荷重推力 (H) によってなされるエネルギー (T_H)、④振動による推力の変化によるエネルギー (T_{AH}) であったが、今回はこれらの他、⑤アーチリブの曲げ歪エネルギー (T_R) を加え、更に逆対称振動の場合、 T_{AH} について、桁端で橋台に結合されている影響を考慮に加えた。



(図-1)



(図-2)



上図は右岸側 END POST より 35 m の所で約 80 m/m の角材上より荷重車(15t)の後輪を落とした時の記録の一部である。

A はクラウンプレート、B は L2 点下部フランジ
C は L4 点下部フランジ、D は側径間 L2 下部フランジ の記録である。

図 3

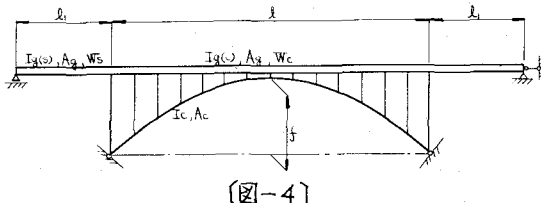
部材の断面2次モーメントを I 、断面積を A であらわし、各部材の諸定数を(図-4)の記号であらわす。中央空間の振動たわみ形状を、 $y = \eta(x) \sin \omega t$ 、側空間の振動たわみ形状を、 $y_1 = \eta_1(x) \sin \omega t$ で
あらわすと、各エネルギーは次の様になる。

$$T = \frac{W_0}{2g} \int_0^l \left(\frac{dy}{dx} \right)^2 dx + 2 \times \frac{W_0}{2g} \int_0^l \left(\frac{dy_1}{dx} \right)^2 dx ,$$

$$V_G = \frac{EI_c}{2} \int_0^l \left(\frac{d^2y}{dx^2} \right)^2 dx + 2x \times \frac{EI_s(s)}{2} \int_0^l \left(\frac{d^2y_1}{dx^2} \right)^2 dx ,$$

$$V_R = \frac{EI_c}{2} \int_0^l \left(\frac{d^2y}{dx^2} \right)^2 dx , \quad V_D = -\frac{H}{2} \int_0^l \left(\frac{dy}{dx} \right)^2 dx ,$$

$$V_{AH} = \frac{(\Delta H)^2 L_s}{2EA_c}$$



(図-4)

△Hについて アーテリブの微少要素の変化長の水平成分の総和が0である条件より

$$\int_0^l \Delta dx = 0 \quad (a)$$

(図-5)において、△Hにより $ds \rightarrow ds + \Delta ds$ になると、たとすると

$$\Delta ds = \frac{\Delta H \cdot ds}{EA_c \cos \varphi}$$

$$(ds + \Delta ds)^2 = (dx + \Delta dx)^2 + (dy + \Delta dy)^2$$

2次以上の項を無視して、 $\cos \varphi = \frac{dx}{ds}$ 、 $\Delta dy = d\eta$ を代入すれば

$$\Delta dx = \frac{\Delta H}{EA_c \cos \varphi} dx - \frac{dy}{dx} \cdot \frac{dy}{dx} \cdot dx \quad \text{となり (a) によつて} \quad \int_0^l \frac{\Delta H}{EA_c \cos \varphi} dx - \int_0^l \frac{dy}{dx} \cdot \frac{dy}{dx} \cdot dx = 0$$

第2項(部分積分)によつて、 $\int_0^l \frac{dy}{dx} \frac{dy}{dx} dx = (\eta \cdot y')_0^l - \int_0^l y'' \cdot \eta \cdot dx = - \int_0^l y'' \cdot \eta \cdot dx$

$$\int_0^l \frac{dx}{\cos \varphi} \div l (1 + 8 \frac{f^2}{L_s^2}) = L_s \quad \text{とおけば} \quad \Delta H = - \frac{EA_c}{L_s} y' \int_0^l \eta \cdot dx \quad \text{となる。}$$

逆支承振動の場合、アーテクラウンは水平方向の変位を生ずるが、その変位は橋台に結合された補剛形によつて制限される。クラウンの変位を δ_C とすれば、アーテについて

$$\delta_C = \int_0^l \Delta dx = \frac{\Delta H}{2EA_c} L_s + y' \int_0^l \eta \cdot dx \quad \text{一方補剛形について} \quad \delta_C = \frac{2 \cdot \Delta H \cdot (l + l_s)}{EA_g} = \frac{\Delta H (2l + l_s)}{EA_g}$$

$$(したがつて) - \frac{\Delta H}{2EA_c} L_s - y' \int_0^l \eta \cdot dx = \frac{\Delta H (2l + l_s)}{EA_g} \quad \text{となり、} \Delta H \text{および} \delta_C \text{は}$$

$$\Delta H = \frac{2EA_c}{L_s} \frac{-y'}{1 + \frac{2(2l + l_s)}{L_s} \frac{A_c}{A_g}} \int_0^l \eta \cdot dx , \quad \delta_C = -y' \frac{\frac{2(2l + l_s)}{L_s} \frac{A_c}{A_g}}{1 + \frac{2(2l + l_s)}{L_s} \frac{A_c}{A_g}} \int_0^l \eta \cdot dx \quad \text{となる。}$$

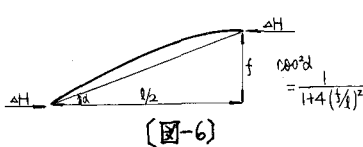
(図-6)を参照して、左半分のアーテリブのエネルギーについて考えると、その量は

$$\frac{\Delta H \cdot \cos \varphi}{2} \left(\frac{\Delta H \cdot \cos \varphi}{2EA_c} - \delta_C \cdot \cos \varphi \right) = (y')^2 \frac{EA_c}{L_s} \cos^2 \alpha \frac{1 - \frac{2(2l + l_s)}{L_s} - \frac{A_c}{A_g}}{\left(1 + \frac{2(2l + l_s)}{L_s} \frac{A_c}{A_g} \right)^2} \left\{ \int_0^l \eta \cdot dx \right\}^2$$

となり、アーテ全体としては

$$V_{AH}(R) = 2 \times (y')^2 \frac{EA_c}{L_s} \cos^2 \alpha \frac{1 - \frac{2(2l + l_s)}{L_s} - \frac{A_c}{A_g}}{\left(1 + \frac{2(2l + l_s)}{L_s} \frac{A_c}{A_g} \right)^2} \left\{ \int_0^l \eta \cdot dx \right\}^2 \quad \text{となる。}$$

補剛形については



(図-6)

$$T_{\Delta H}(G) = \frac{2\Delta H \delta c}{2} = 2 \times (y')^2 \frac{EA_c}{L_s} \frac{\frac{2(l+l)}{L_s} \frac{Ac}{Ag}}{\left\{1 + \frac{2(2k+l)}{L_s} \frac{Ac}{Ag}\right\}^2} \left\{ \int_0^{L_s} y' dx \right\}^2$$

となり、 $T_{\Delta H} = T_{\Delta H}(R) + T_{\Delta H}(G)$ で求められる。

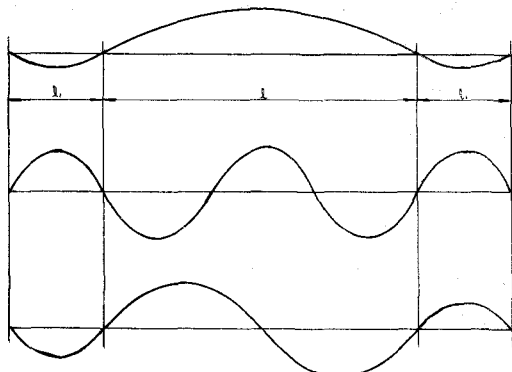
対称振動形として $y(x) = a_1 \sin \frac{\pi x}{l} + a_2 \sin \frac{3\pi x}{l}$, $y_1(x) = -(a_1 + 3a_2) \frac{l}{\pi} \sin \frac{\pi x}{l}$
 逆対称振動形として $y(x) = a_2 \sin \frac{2\pi x}{l}$, $y_1(x) = -a_2 \frac{l}{\pi} \sin \frac{2\pi x}{l}$ を仮定し
 $E = 2.1 \times 10^7 \text{ N/m}^2$, $g = 9.8 \text{ m/sec}^2$, $Ig(s) = 5.89 \times 10^{-2} \text{ m}^4$, $Ig(c) = 9.20 \times 10^{-3} \text{ m}^4$
 $I_c = 0.40 \times 10^{-2} \text{ m}^4$, $Ag = 22.00 \times 10^{-2} \text{ m}^2$, $A_c = 3.23 \times 10^{-2} \text{ m}^2$, $l = 140.0 \text{ m}$
 $l_1 = 42.0 \text{ m}$, $W_s = 2.59 \text{ t/m}$, $W_c = 3.56 \text{ t/m}$, $f = 33.0 \text{ m}$
 $H = 250.3 \text{ t}$, $L_s = 202.16 \text{ m}$ を代入すると、表-1の結果を得る。

なお、前報告における結果を並記する。

	前回の計算値	今回の計算値	実測値
対称1次振動	0.63	0.64	0.67
2次	0.44	0.43	0.42
逆対称1次振動	1.04	0.58	0.56

(表-1) 振動周期 sec/c

(図-7) は仮定した振動たわみ形を示す。



(図-7)

4 結果について

橋木次橋型の上路式補剛アーチにおいては、補剛桁の一端をアイバーで橋台に結合するために、補剛桁の軸方向の移動を抑え、地震力を直接橋台にとることができて、有利である。

- 1) この場合にも、逆対称形の振動は依然として存在するが、アイバーのない場合と比較すると、その振動周期は大目に変わっている。
- 2) 対称振動周期はアイバーのない時と変わらない。
- 3) エネルギー法でも、実用上支障のない周期を計算することができます。